

極端紫外領域における 多価イオン発光スペクトルの観測

中村信行研究室 加藤 弘行

1. 背景と目的

1.1 核融合実験プラズマ

フランスで建築中である国際熱核融合実験炉においてもプラズマから余分なエネルギーや不純物を排出するダイバータと呼ばれる部分の材料として Mo が一つの候補となっている[1]。高温プラズマ中の粒子の衝突により、Mo 原子がスパッタされプラズマ中に混入すると多価イオン化され、X線などエネルギーの高い放射により光を放出ことでプラズマ冷却する。したがってプラズマを高温に保つためにプラズマ中でどのような多価イオンが不純物として生成されているかを診断し、それらの流入を管理、制限する必要がある。そのためには、不純物である Mo のプラズマへの流入量や流入経路を正確に診断することが必要であるが、この際プラズマからの発光を調べる分光診断が有用となる。したがってその診断のために Mo 多価イオンの発光データが必要となる。核融合実験プラズマは高温、高密度なプラズマであるため、内殻電子の励起や二電子励起状態による衛星線などが観測され、取りうる遷移の組合せが豊富である。さらに価数の分布が広いため、いくつかの価数の遷移が重なり合うことで、疑似連続スペクトルを形成する。よって核融合実験プラズマ解析のために詳細な価数分離された分光データが望まれている。

1.2 太陽における極端紫外光

太陽の大気中での磁気活動の影響を理解し、さらには地球や太陽圏への影響を予測する宇宙天気予報を正確なものにするためには、太陽からの放射を解明することが重要である。可視光の強度はほぼ一定である一方極端紫外光の強度は太陽フレア、コロナホールなどの磁気駆動現象の影響を受け 1000 倍も変化することがあり、最近の研究では極端紫外光の変動を理解し、これが宇宙天気に与える影響を

モデル化することに焦点が当てられている[2]。太陽大気に含まれる元素の中でも Fe については盛んに研究が行われ、発光スペクトルの同定も進んでいるが、C,O,N,F,Ne,S,Ar,Ni なども太陽大気に含まれる重要な元素でありそれらの発光データも重要である。

1.3 極端紫外光源

極端紫外光を利用した研究は様々な分野で行われており、以下にいくつかの例を示す。

i) フォトリソグラフィ

半導体素子の製造工程に光を用いて回路パターンを形成するフォトリソグラフィという工程がある。現在は 193nm の ArF レーザーを用いた液浸リソグラフィとマルチパターニングを組み合わせることにより 7nm の解像寸法を実現している[3]。しかし、この方法ではプロセスが複雑で制御が難しく、工程数が長い、マスクが多い等の課題がある。そこで次世代リソグラフィの光源として期待されているのが 13.5nm の極端紫外光(EUV)である。EUV 光源の波長が 13.5nm に決まった背景として、光学系による制限が存在する。EUV 領域の光は物質に対する吸収率などの問題からレンズを用いた集光などができず、ミラーのみを使用して光学系を構築しなくてはならない。そのため、EUV 領域で高い反射率を持つミラーが要求され、中心波長 13.5nm で 70 %を超える高い反射率を持つ Mo/Si 多層膜ミラーの使用が決定された。波長が 13.5nm の光源として、Sn や Xe をターゲットとしたレーザー生成プラズマ(LPP)が有力視されている。このプラズマは高強度レーザーを固体表面に照射することでレーザーの電場により固体の電子が加熱され、この加熱された電子が原子に衝突することで生成される。さらに、13.5nm よりも短い 6.8nm において高い反射率を持つ La/B 多層膜ミラーの研

究も進められている。これらの研究から多層膜ミラーを用いた EUV リソグラフィの光源となるプラズマのターゲットとなる元素の発光データが必要とされている。

ii) 水の窓

他にも 2-4nm の EUV は顕微鏡の光源として開発が進められている。酸素と炭素の K 線の吸収端の間の 2-4nm の波長域は「水の窓」と呼ばれ、水の線吸収係数がタンパク質、核酸といった生体を構成する物質に比べ低い。そのためこの波長域の光源を利用した軟 X 線顕微鏡が実用化すれば、染色、脱水などの処理を必要とせず、水分を含んだままでの生体の高分解な観察を可能とするため、広い応用が期待され、そのための光源開発が望まれている。顕微鏡の光源として、大型研究施設にあるような自由電子レーザーが一つの有力な手段となっているが、より小型で研究室規模であることが望ましいため、LPP を用いるものが開発されている。LPP 光源の効率を向上させるためには、多価イオンの発光波長および発光強度の価数依存性が水の窓領域での発光強度を最大化するプラズマの諸条件に直結するため、水の窓領域で強く発光する Bi,Zr,Mo の多価イオンの遷移波長や遷移確率などの価数依存性といった分光データが求められる。

1.4 研究目的

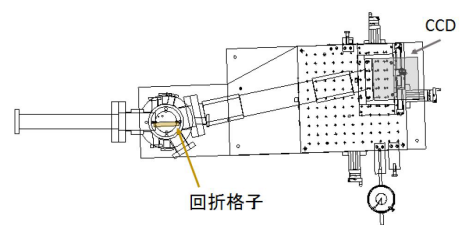
多価イオンは、核融合実験炉やレーザープラズマといった高温プラズマ中に多く存在するため、そのようなプラズマを診断および制御するためには多価イオンの分光データが必要である。また、レーザープラズマの次世代光源への利用のためには、光源の候補となる元素の発光の価数依存性といった分光データが必要とされている。そこで本研究では、極端紫外領域で求められている分光データ取得のため、小型電子ビームイオントラップを用いて Mo,Y 多価イオンについて価数分離した極端紫外域の発光の分光測定を行った。測定は電子ビームイオントラップ(EBIT)を用いて多価イオンを生成し、4-8nm,15-22nm,22-30nm の領域で行った。また、太陽の大気中で最も豊富な元素のひとつである S について発光データの収集をして 15-30nm の領域で EBIT を用いて分光測定を行った。測定したスペクトルについては Flexible

atomic code(FAC) を用いた衝突輻射モデル計算を行い価数と遷移の同定を試みた。

2. 実験

2.1 極端紫外分光器

本研究では、図 2.1 に示した極端紫外分光器を使用した。EUV は空気に吸収されてしまうため、光学系は真空容器内に入っている。光源である EBIT からの発光は線光源とみなせるためスリットを使用する必要がなく直接回折格子に入射される。回折格子で分散された光は CCD で検出される。使用する回折格子により入射角度を変化できるように回



折格子の中心を軸に回転できるようになっている。

図 2.1 EUV 分光器の概略図

2.2 分光実験

本研究では大型ヘリカル装置や LPP といったイオンの価数分布の広いプラズマ中で遷移の同定が困難とされている多価イオンの分光データを得ることを目的として、小型の EBIT である CoBIT と呼ばれる装置を用いて多価イオンの極端紫外域の発光スペクトルの観測を行った。今回は EUV 光源の候補となっている元素の中でも Mo に着目し、4-8nm,15-22nm,22-30nm の領域においてそれぞれ 305-680eV,150-975eV,150-975eV の間で電子ビームエネルギーを変化させて分光測定を行った。また、発光線の原子番号依存性、系統的理解を深めるために Y についても同じ波長域で等電子系列の分光測定を行い、発光線の価数、遷移の同定を行った。また、太陽大気の中で最も豊富に存在する元素の一つである S について 16-29nm の波長域において 365-680eV の間で電子ビームエネルギーを変化させて分光測定を行った。

3. 結果および考察

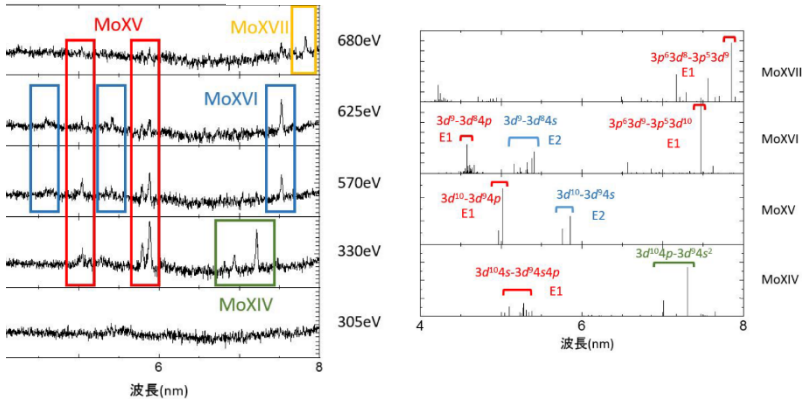
3.1 Mo 分光測定

3.1.1 4-8nm

4-8nm 領域で観測されたスペクトルを図 3.1 に示す。

表 3.1 Mo のイオン化エネルギー

価数	イオン化エネルギー (eV)
13 → 14	305
14 → 15	545
15 → 16	598
16 → 17	652
17 → 18	708



す。また該当する Mo のイオン化エネルギーを表 3.1 にまとめた。このイオン化エネルギーの値と電子ビームエネルギーの値から観測された発光線の価数同定を行った。

図3.14-8nmにおけるMo発光スペクトルと価数同定(左)

図3.2 実験スペクトルと理論計算によって得られたスペクトルの比較と遷移同定の結果(右)

これらの発光線の遷移を同定するために、Flexible Atomic Code(FAC) という計算コードを用いた衝突輻射モデル計算を行い、実験によって得られたスペクトルとの比較を行った(図 3.2)。 $E_e = 330\text{eV}$ では最大で 14 倍までの多価イオンを生成できるが、7nm 付近の 2 本の発光線は $E_e = 570\text{eV}$ の場合では観測されず、同様に $E_e = 330\text{eV}$ で観測され始めた 5.8nm 付近の 2 本の発光線、5nm 付近の発光線とは異なるエネルギー依存性を表している。よって計算したスペクトルと位置が一致する 7nm 付近の 2 本の発光線を MoXIV の $3d^{10}4p - 3d^94s^2$ の二電子遷移、5.8nm 付近の 2 本の発光線は MoXV の $3d - 4s$ の E2 遷移、5nm 付近の発光線は $3d - 4p$ の E1 遷移と同定した。次に $E_e = 570\text{eV}$ から現れ始めた 4.5nm, 5.5nm, 7.5nm 付近の発光線は計算結果との比較からそれぞれ、MoXVI の $3d - 4p$, $3d - 4s$, $3p - 3d$ と同定した。続いて、 $E_e = 680\text{eV}$ から現れた 8nm 付近の発光線は MoXVII の $3p - 3d$ と同定した。その結果と NIST のデータベースの波長値を表 3.2 にまとめた。

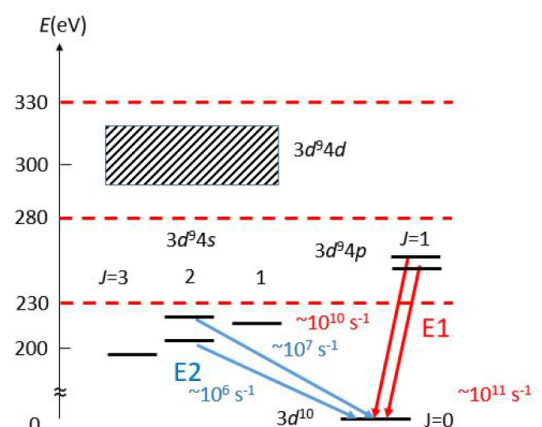
これらの発光線のうち、興味深いものとして、MoXV の E1 より強く発光している 5.8nm 付近の E2 遷移と MoXIV で観測された 7nm および 7.2nm 付近で観測された二電子遷移についての考察を行った。

表 3.2 4-8nm 領域における Mo イオンの発光線の実験結果とデータベースの比較

spectrum	transition type	NIST(nm)	measurement(nm)
XIV	$3d^{10}4p - 3d^94s^2$	6.95	6.939
XIV	$3d^{10}4p - 3d^94s^2$	7.13	7.216
XV	$3d^{10} - 3d^9$	5.0448	5.043
XV	$3d^{10} - 3d^94s$	5.7927	5.789
XV	$3d^{10} - 3d^94p$	5.8832	5.883
XVI	$3p^63d^9 - 3p^53d^{10}$	7.5869	7.526
XVII	$3p^63d^8 - 3p^53d^9$	7.9186	7.826

i) MoXV の E2 遷移

図 3.3 は MoXV のエネルギー準位と E1, E2 それぞれの遷移の概略を示したものである。FAC によって計算された遷移確率は E1 が 10^{11}s^{-1} 、E2 が 10^6s^{-1} および 10^7s^{-1} 程度と E1 と E2 では 3,4 衡遷移確率が異なっているが、観測された発光線では強度が逆転している。この原因の一つとして考えられるのは、今回の実験で用いた CoBIT 内は電子密度が低いことである。CoBIT 内の電子密度は 10^{10}cm^{-3} 程度であり、LPP や核融合プラズマにおける 10^{25}cm^{-3} に比べ圧倒的に低いため、励起状態が衝突を受ける前に放射により脱励起する。これにより遷移確率が低い(寿命が長い)遷移でも LPP や核融合プラズマ内よりも起こりやすい。また、励起レートが $\sim 1\text{s}^{-1}$ と遷移確率に比べ小さいため遷移強度が遷移確率ではなく励起断面積に依存する。基底準位から E1, E2 遷移の上準位への励起断面積は FAC の計算結果によるといずれも 10^{-20}cm^2 程度であるため遷移確率が 3,4 衡程度異なっていても



発光強度はほぼ同程度と考えられる。

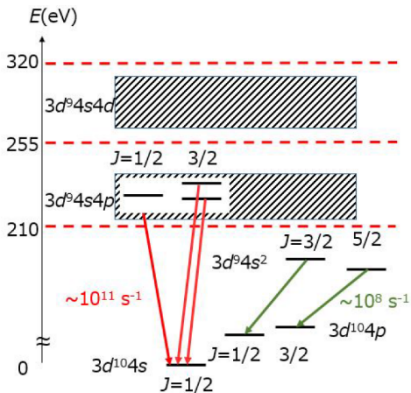
図 3.3 MoXV のエネルギー準位の概略図と E1 遷

移,E2 遷移それぞれの遷移確率

しかし、今回の実験で用いた回折格子は機械刻線回折格子(ruled grating) というタイプのもので今回の観測領域において短波長側にいくにつれて感度が著しく低下していくことが考えられる[4]。このため発光強度の詳細な比較には感度較正が必要である。

ii) MoXIV の二電子遷移

次に MoXIV で観測された二電子遷移について考察する。通常二電子遷移は遷移寿命が長いため LPP や核融合プラズマなどの電子密度が高いプラズマでは強度が弱くなってしまうが、今回の実験では他の E1 遷移等の発光と同程度の密度で観測された。図 3.4 は MoXIV のエネルギー準位と 5nm 付近の E1 遷移と二電子遷移の概略を表したものである。FAC によって計算された遷移確率は E1 遷移がどちらも 10^{11}s^{-1} 、二電子遷移が 10^6s^{-1} および 10^7s^{-1} 程度と E1 と二電子遷移では 3,4 衍遷移確率が異なっているが、観測された発光線では強度が逆転している。FAC によって得られた上準位への励起断面積はいずれも 10^{-20}cm^{-3} であるため、MoXV での議論と同様に E1 と E2 遷移の発光強度



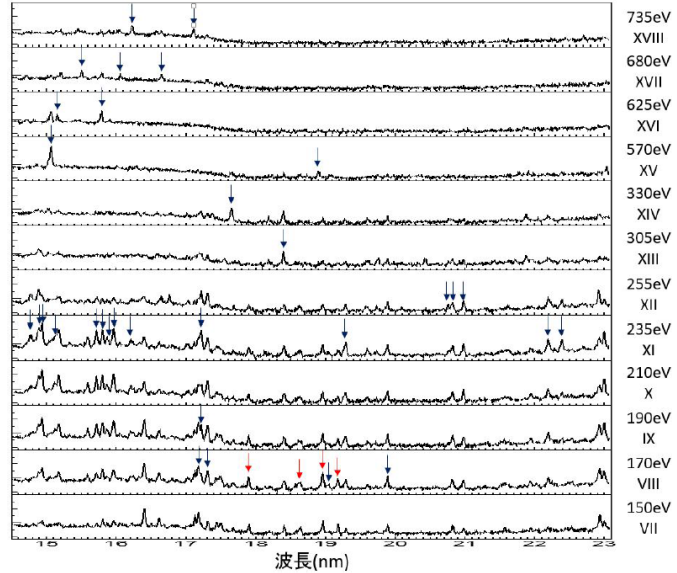
が同程度で観測されたと考えられる。

図 3.4 Mo¹³⁺ のエネルギー準位の概略図と E1 遷移、二電子遷移それぞれの遷移確率

3.1.2 15-22nm

次に、15-22nm 領域で観測されたスペクトルを図 3.5 に示す。グラフの右側の値は電子ビームエネルギー、ローマ数字はその電子ビームエネルギーにおいて支配的に存在すると考えられる Mo 多価イオンの価数を表している。発光線の同定はそれぞれの電子ビームエネルギーにおいて生成できる最大価数と発光強度の電子ビームエネルギー依存性から発光線の帰属

イオンの価数を同定した。さらに同定した発光線のうち、NIST[5] データベースで公開されているそれぞれの価数の共鳴線の波長と一致するものの遷移を同定した。図中の赤い矢印は遷移の同定ができた発光線、青い矢印は遷移の同定には至らなかった発光線を示



している。同定の結果を表 3.3 に観測された発光線と NIST データベースとの比較をまとめた。

図 3.5 各電子ビームにおける Mo 多価イオン発光スペクトルと価数同定(15-22nm)

表 3.3 15-22nm 領域における Mo 多価イオンの発光線の比較

spectrum	transition type	NIST(nm)[7]	measurement(nm)
XI	-	-	14.792
XI	-	-	14.887
XI	-	-	14.935
XV	-	-	15.069
XI	-	-	15.126
XVI	-	-	15.153
XXI	-	-	15.309
XVII	-	-	15.507
XI	-	-	15.718
XVI	-	-	15.792
XI	-	-	15.800
XI	-	-	15.870
XIX	-	-	15.910
XI	-	-	15.962
XVII	-	-	16.059
XI	-	-	16.208
XVIII	-	-	16.227
XIX	-	-	16.422
XVII	-	-	16.650
XVIII	-	-	17.110
VIII	-	-	17.176
IX	-	-	17.219
XI	-	-	17.219
VIII	-	-	17.309
XX	-	-	17.386
XIV	-	-	17.650
VIII	4p-5s	17.895	17.899
XIII	-	-	18.396
VIII	4p-5s	18.638	18.631
XV	-	-	18.896
VIII	4p-5s	18.961	18.960
VIII	-	-	19.032
VIII	4p-5s	19.177	19.177
XI	-	-	19.293
VIII	-	-	19.890
XII	-	-	20.760

3.1.3 22-30nm

同様に 22-30nm で観測されたスペクトルを図 3.6 に示す。グラフの右側の値は電子ビームエネルギー、ローマ数字はその電子ビームエネルギーにおいて支配的に存在すると考えられる Mo 多価イオンの価数を表している。電子ビームエネルギーを 330eV より大きくした測定では発光線が得られなかった

ためスペクトルは割愛した。先ほどと同様に行った同定の結果を表 3.4 にまとめた。

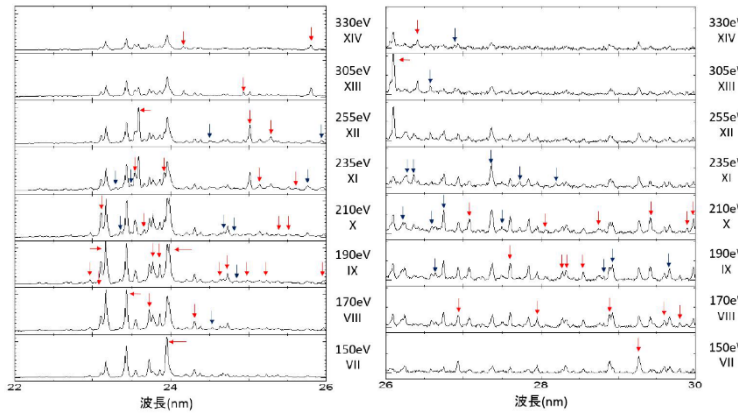
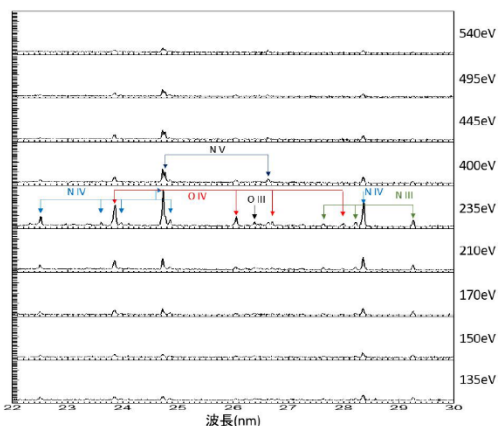


図 3.6 各電子ビームにおける Mo 多価イオン発光スペクトルと価数同定

表 3.4 22-30nm 領域の Mo 多価イオン発光線の比較

spectrum	transition type	NIST(nm)[7]	measurement(nm)
IX	4p-4d	22.961	22.969
X	4p-4d	23.111	23.110
IX	4p-4d	23.175	23.172
XI	-	23.301	
X	-	23.358	
VIII	4p-4d	23.431	23.430
XI	-	23.476	
XI	4p-4d	23.563	23.539
XII	4p-4d	23.585	23.586
X	4p-4d	23.649	23.657
VIII	4p-4d	23.722	23.724
IX	4p-4d	23.756	23.768
IX	4p-4d	23.859	23.860
XI	4p-4d	23.912	23.915
VII	4p-4d	23.950	23.950
IX	4p-4d	23.989	23.981
XIV	4p-4d	24.161	24.161
VIII	4p-4d	24.301	24.306
XII	-	24.504	
VIII	-	24.532	
IX	4p-4d	24.650	24.638
X	-	24.681	
IX	4p-4d	24.730	24.731
X	-	24.816	
IX	-	24.844	
XIII	4p-4d	24.931	24.937
IX	4p-4d	24.991	24.986
XII	4p-4d	25.011	25.017
XI	4p-4d	25.135	25.143
IX	4p-4d	25.242	25.234
XII	4p-4d	25.252	25.290
X	4p-4d	25.373	25.385
X	4p-4d	25.516	25.523
XI	4p-4d	25.602	25.607
XI	-	25.758	
XIV	4p-4d	25.799	25.800
XII	-	25.935	
XIII	-	25.971	
XIV	-	25.991	
XV	-	26.008	
XVI	-	26.025	
XVII	-	26.042	
XVIII	-	26.059	
XIX	-	26.076	
XII	-	26.111	
XIII	-	26.128	
XIV	-	26.145	
XV	-	26.162	
XVI	-	26.179	
XVII	-	26.196	
XVIII	-	26.213	
XIX	-	26.230	
XII	-	26.265	
XIII	-	26.282	
XIV	-	26.299	
XV	-	26.316	
XVI	-	26.333	
XVII	-	26.350	
XVIII	-	26.367	
XIX	-	26.384	
XII	-	26.420	
XIII	-	26.437	
XIV	-	26.454	
XV	-	26.471	
XVI	-	26.488	
XVII	-	26.505	
XVIII	-	26.522	
XIX	-	26.539	
XII	-	26.575	
XIII	-	26.592	
XIV	-	26.609	
XV	-	26.626	
XVI	-	26.643	
XVII	-	26.660	
XVIII	-	26.677	
XIX	-	26.694	
XII	-	26.730	
XIII	-	26.747	
XIV	-	26.764	
XV	-	26.781	
XVI	-	26.798	
XVII	-	26.815	
XVIII	-	26.832	
XIX	-	26.849	
XII	-	26.885	
XIII	-	26.902	
XIV	-	26.919	
XV	-	26.936	
XVI	-	26.953	
XVII	-	26.970	
XVIII	-	26.987	
XIX	-	27.004	
XII	-	27.040	
XIII	-	27.057	
XIV	-	27.074	
XV	-	27.091	
XVI	-	27.108	
XVII	-	27.125	
XVIII	-	27.142	
XIX	-	27.159	
XII	-	27.195	
XIII	-	27.212	
XIV	-	27.229	
XV	-	27.246	
XVI	-	27.263	
XVII	-	27.280	
XVIII	-	27.297	
XIX	-	27.314	
XII	-	27.350	
XIII	-	27.367	
XIV	-	27.384	
XV	-	27.401	
XVI	-	27.418	
XVII	-	27.435	
XVIII	-	27.452	
XIX	-	27.469	
XII	-	27.505	
XIII	-	27.522	
XIV	-	27.539	
XV	-	27.556	
XVI	-	27.573	
XVII	-	27.590	
XVIII	-	27.607	
XIX	-	27.624	
XII	-	27.660	
XIII	-	27.677	
XIV	-	27.694	
XV	-	27.711	
XVI	-	27.728	
XVII	-	27.745	
XVIII	-	27.762	
XIX	-	27.779	
XII	-	27.815	
XIII	-	27.832	
XIV	-	27.849	
XV	-	27.866	
XVI	-	27.883	
XVII	-	27.899	
XVIII	-	27.916	
XIX	-	27.933	
XII	-	27.969	
XIII	-	27.986	
XIV	-	28.003	
XV	-	28.020	
XVI	-	28.037	
XVII	-	28.054	
XVIII	-	28.071	
XIX	-	28.088	
XII	-	28.124	
XIII	-	28.141	
XIV	-	28.158	
XV	-	28.175	
XVI	-	28.192	
XVII	-	28.209	
XVIII	-	28.226	
XIX	-	28.243	
XII	-	28.279	
XIII	-	28.296	
XIV	-	28.313	
XV	-	28.330	
XVI	-	28.347	
XVII	-	28.364	
XVIII	-	28.381	
XIX	-	28.398	
XII	-	28.434	
XIII	-	28.451	
XIV	-	28.468	
XV	-	28.485	
XVI	-	28.502	
XVII	-	28.519	
XVIII	-	28.536	
XIX	-	28.553	
XII	-	28.589	
XIII	-	28.606	
XIV	-	28.623	
XV	-	28.640	
XVI	-	28.657	
XVII	-	28.674	
XVIII	-	28.691	
XIX	-	28.708	
XII	-	28.745	
XIII	-	28.762	
XIV	-	28.779	
XV	-	28.796	
XVI	-	28.813	
XVII	-	28.830	
XVIII	-	28.847	
XIX	-	28.864	
XII	-	28.901	
XIII	-	28.918	
XIV	-	28.935	
XV	-	28.952	
XVI	-	28.969	
XVII	-	28.986	
XVIII	-	29.003	
XIX	-	29.020	
XII	-	29.057	
XIII	-	29.074	
XIV	-	29.091	
XV	-	29.108	
XVI	-	29.125	
XVII	-	29.142	
XVIII	-	29.159	
XIX	-	29.176	
XII	-	29.213	
XIII	-	29.230	
XIV	-	29.247	
XV	-	29.264	
XVI	-	29.281	
XVII	-	29.298	
XVIII	-	29.315	
XIX	-	29.332	
XII	-	29.369	
XIII	-	29.386	
XIV	-	29.403	
XV	-	29.420	
XVI	-	29.437	
XVII	-	29.454	
XVIII	-	29.471	
XIX	-	29.488	
XII	-	29.525	
XIII	-	29.542	
XIV	-	29.559	
XV	-	29.576	
XVI	-	29.593	
XVII	-	29.610	
XVIII	-	29.627	
XIX	-	29.644	
XII	-	29.681	
XIII	-	29.698	
XIV	-	29.715	
XV	-	29.732	
XVI	-	29.749	
XVII	-	29.766	
XVIII	-	29.783	
XIX	-	29.799	
XII	-	29.836	
XIII	-	29.853	
XIV	-	29.870	
XV	-	29.887	
XVI	-	29.904	
XVII	-	29.921	
XVIII	-	29.938	
XIX	-	29.955	
XII	-	29.992	
XIII	-	30.009	
XIV	-	30.026	
XV	-	30.043	
XVI	-	30.060	
XVII	-	30.077	
XVIII	-	30.094	
XIX	-	30.111	
XII	-	30.148	
XIII	-	30.165	
XIV	-	30.182	
XV	-	30.199	
XVI	-	30.216	
XVII	-	30.233	
XVIII	-	30.250	
XIX	-	30.267	
XII	-	30.304	
XIII	-	30.321	
XIV	-	30.338	
XV	-	30.355	
XVI	-	30.372	
XVII	-	30.389	
XVIII	-	30.406	
XIX	-	30.423	
XII	-	30.460	
XIII	-	30.477	
XIV	-	30.494	
XV	-	30.511	
XVI	-	30.528	
XVII	-	30.545	
XVIII	-	30.562	
XIX	-	30.579	
XII	-	30.616	
XIII	-	30.633	
XIV	-	30.650	
XV	-	30.667	
XVI	-	30.684	
XVII	-	30.701	
XVIII	-	30.718	
XIX	-	30.735	
XII	-	30.772	
XIII	-	30.789	
XIV	-	30.806	
XV	-	30.823	
XVI	-	30.840	
XVII	-	30.857	
XVIII	-	30.874	
XIX	-	30.891	
XII	-	30.928	
XIII	-	30.945	
XIV	-	30.962	
XV	-	30.979	
XVI	-	30.996	
XVII	-	31.013	
XVIII	-	31.030	
XIX	-	31.047	
XII	-	31.084	
XIII	-	31.101	
XIV	-	31.118	
XV	-	31.135	
XVI	-	31.152	
XVII	-	31.169	
XVIII	-	31.186	
XIX	-	31.203	
XII	-	31.240	
XIII	-	31.257	
XIV	-	31.274	
XV	-	31.291	
XVI	-	31.308	
XVII	-	31.325	
XVIII	-	31.342	
XIX	-	31.359	
XII	-	31.396	
XIII	-	31.413	
XIV	-	31.430	
XV	-	31.447	
XVI	-	31.464	
XVII	-	31.481	
XVIII	-	31.498	
XIX	-	31.515	
XII	-	31.552	
XIII	-	31.569	
XIV	-	31.586	
XV	-	31.603	
XVI	-	31.620	
XVII	-	31.637	
XVIII	-	31.654	
XIX	-	31.671	
XII	-	31.708	
XIII	-	31.725	
XIV	-	31.742	
XV	-	31.759	
XVI	-	31.776	
XVII	-	31.793	
XVIII	-	31.810	
XIX	-		

に示す。先ほどと同様にいくつかの発光線が観測されたが、試料を導入せずに観測を行った際のスペク



トルとの比較からこれらの発光は全て実験装置内の不純物の発光であり、この領域においてはYの発光を観測することはできなかった。

図 3.10 15-22nm の各エネルギーにおける発光スペクトル

3.3 S 分光測定

16-29nm の領域で観測されたスペクトルを図 3.13 に、FAC を用いた衝突輻射モデル計算の結果を発光強度を縦軸として図 3.11 に示す。また S のイオン化エネルギーを表 3.6 に示す。図中の右の値は電子ビームエネルギーを示している。

表 3.6 S のイオン化エネルギー

価数	イオン化エネルギー (eV)
7→8	328
8→9	381
9→10	436
10→11	495
11→12	555
12→13	652

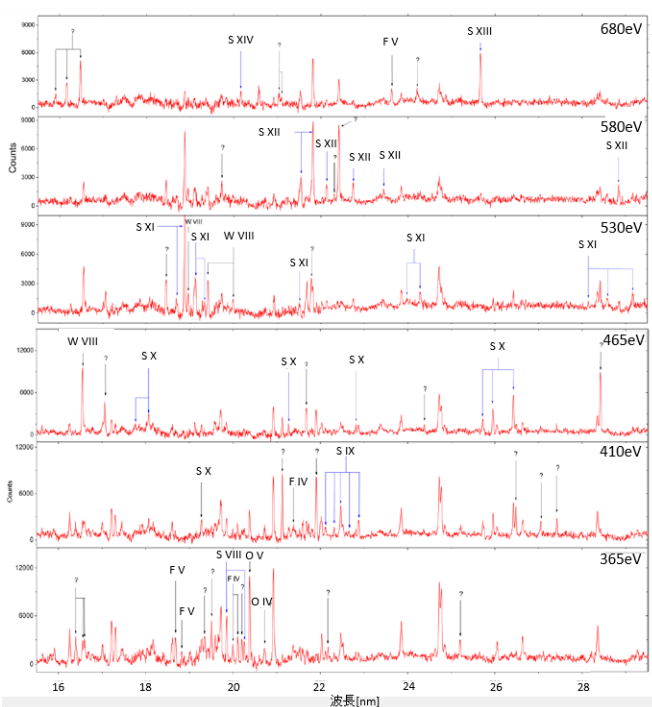
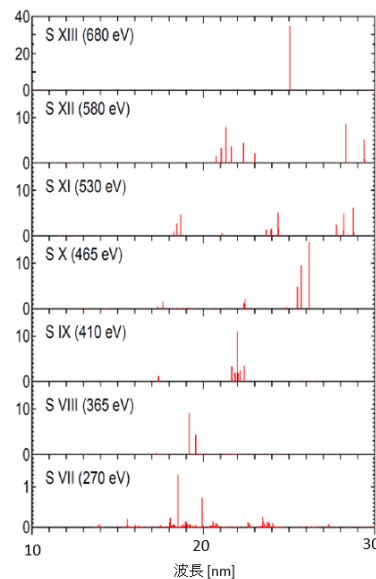


図 3.11 16-29nm の各電子ビームにおける発光スペクトル

発光線の同定は、それぞれの電子ビームエネルギーにおいて生成できる最大価数と、発光強度の電子ビームエネルギー依存性および衝突輻射モデルの計算結果(図 3.12)との比較から発光線の帰属イオン



の価数を同定した。F の発光線が観測されたのは SF₆ を CoBIT 内に導入して実験を行ったためである。

図 3.12 衝突輻射モデル計算による S VII-XIII の計算スペクトル

4. 結論

極端紫外領域における価数ごとに分離した Mo 多価イオンの発光を観測を行い、4-8nm 領域において MoXV の E2 遷移の強い発光、MoXIV の二電子遷移の発光を観測し、本来強度が弱いはずである E2, 二電子遷移が強く発光した原因を CoBIT 内の電子密度、励起断面積の影響であると推定した。15-22nm、22-30nm の領域の Mo の発光について NIST に掲載されていない発光について遷移の同定には至らなかったが、価数の同定を行った。Y については、先行研究によって観測されていた 7.2nm 付近の Y XIII の 3d-4p の E1 遷移、まだ観測されていない Y XII の 3d-4s の E2 遷移を観測することができず、回折格子の感度の影響が小さいと考えられる波長域での発光強度の比較を行うことができなかった。しかし、NIST には掲載されていない Y XIII の 3d-4p, 3d-4s の発光線を確認した。

参考文献

- [1] M. Chowdhuri , et al., PFR.2 S1060 (2007)
- [2] P. Beiersdorfer et al., Astrophys J 2014:788:25
- [3] <https://www.nikonprecision.com/products-and-technology/immersion-and-multiple-patterning/nsr-s631e/>
- [4] M.Bikas Chowdhuri, et al., REVIEW OF SCIENTIFIC

INSTRUMENTS78, 023501(2007)

[5] <https://www.nist.gov/pml/atomic-spectra-database>

[6] R.Lokasani,et al.,J. Phys. B: At. Mol. Opt. Phys. 48 (2015)